



بررسی تجربی و عددی شکل‌پذیری بال با طول و زاویه پس‌گرایی متغیر روی مشخصات آبرودینامیکی یک پهپاد

عباس طربی^۱, سجاد قاسملو^{۲*}, محمود مانی^۳

۱- دانشجوی دکتری مهندسی هواپیما، مجتمع دانشگاهی هواپیما، دانشگاه صنعتی مالک اشتر، تهران

۲- استادیار، مجتمع دانشگاهی هواپیما، دانشگاه صنعتی مالک اشتر، تهران

۳- استاد، دانشکده مهندسی هواپیما، دانشگاه صنعتی امیر کبیر، تهران

* نویسنده مخاطب: تهران، صندوق پستی ۴۴۱۳۱۵۸۷۵ sghasemloo@aut.ac.ir

اطلاعات مقاله

مقاله پژوهشی کامل

دربافت: ۲۵ اذر ۱۳۹۳

پذیرش: ۲۹ دی ۱۳۹۳

ارائه در سایت: ۰۴ بهمن ۱۳۹۳

کلید واژگان:

بال شکل‌پذیر

طول و زاویه پس‌گرایی متغیر

روش عددی

تونل باد

در این پژوهش، طرح شکل‌پذیری روی بال یک پهپاد به صورت تجربی و عددی موردمطالعه قرار گرفته است. شکل‌پذیری بال با طول و زاویه پس‌گرایی متغیر انجام گرفته که در آن مساحت و ضریب منظری با حفظ ساختار کلی بال تغییر می‌یابد. نتایج عددی با استفاده از نرم‌افزار فلوئنت و داده‌های تجربی از تست تونل باد سرعت پایین در سرعت‌های ۵۰، ۶۰ و ۷۰ متر بر ثانیه بدست آمده است. میزان تغییر طول و زاویه پس‌گرایی مدل بال شکل‌پذیر سبب به بال پایه، به ترتیب ۱۰ سانتی‌متر (۳۰ درصد) و ۱۲ درجه (۳۶ درصد) می‌باشد. نتایج بدست آمده از این بررسی نشان‌دهنده بهبود ویژگی‌های آبرودینامیکی بال شکل‌پذیر نسبت به بال پایه می‌باشد، این مسئله به فرم کاهش پسای القایی و افزایش راندمان آبرودینامیکی ظاهر شده است. طبق نتایج تجربی و عددی به دست امده برای بال شکل‌پذیر نسبت به بال پایه، مداومت پروازی به ترتیب ۱۳/۵ و ۱۳/۶ درصد و برد پروازی به ترتیب ۸/۸۵ و ۸/۱۷ درصد افزایش داشته است. مطالعات تجربی و عددی انجام شده نشان می‌دهد که بیشترین تغییر راندمان آبرودینامیکی مدل شکل‌پذیر نسبت به مدل پایه به ترتیب ۱۳/۸ و ۱۳/۷ درصد بوده که در زاویه حمله ۶ درجه و سرعت ۷۰ متر بر ثانیه اتفاق می‌افتد. در این تحقیق همچنین نشان داده شده که چگونه می‌توان از طرح بال شکل‌پذیر با طول متغیر به عنوان یک روش جایگزین برای کنترل حرکات غلشن به جای روش کنترل غلشن سنتی (سطوح کنترل شهپر) استفاده نمود.

Experimental and Numerical Study of a Variable-Span-sweep Morphing Wing on the Aerodynamic Characteristics of a UAV

A. Tarabi¹, S. Gasemloo^{2*}, M. Mani³

1- PhD student, Aerospace Eng., Aerospace Research Institute, Maleke-Ashtar University of Technology, Tehran, Iran

2- Aerospace Eng. Complex, Maleke-Ashtar University of Technology, Tehran, Iran

3-Prof., Aerospace Eng. Dep't, Amirkabir University of Technology, Tehran, Iran

*P.O. B. 441315875, Tehran, Iran. sghasemloo@aut.ac.ir

ARTICLE INFORMATION

Original Research Paper

Received 16 December 2014

Accepted 19 January 2015

Available Online 24 January 2015

Keywords:

Morphing Wing

Variable Span and Sweep

Numerical Method

Wind tunnel

ABSTRACT

In this research, experiment and computational fluid dynamics (CFD) are used to assess the performance of UAV with variable-span and sweep morphing wing under low speed conditions. Both wing area and aspect ratio are changed due to variations in span and sweep, whereas structure of the variable-span and sweep morphing wing remains constant. In this study, the numerical results of Fluent software and experimental data are presented. Results are achieved under a low wind speed (50, 60 and 70 m/s). In this case, full extension represents a 30% (10 cm) increase in wing span and 36% (12 deg.) in sweep angle relative to the original wing, with no extension. The results of this study show that the morphing wing is capable to improved aerodynamic efficiency, increased both range and endurance, reduced induced drag and in general reduced thrust required. According to experimental and numerical results, the use of morphing wing can increase the range by 13.6% and 13.5%, also, endurance of the vehicle by approximately 8.855 and 8.17%, respectively. The results of this study show that the maximum value of lift-to-drag ratio occurred at 6 degrees angle of attack and a speed of 70m/s. These results demonstrate that the use of morphing wing improve the lift-to-drag ratio by 10% compared to original wing. Finally, the numerical simulations are compared and show good agreement with the experimental results. This research also showed how morphing concept can be used as an alternative method for roll control instead of the traditional method of roll control (Aileron control surfaces).

پرواز برای بهینه‌سازی عملکرد خود، تغییر شکل دهد. این تغییرات شامل

تغییر وتر، ابعاد و حجم بال، ضخامت بال و درنهایت اصلاح شکل پلان فرم بال

هوایپما با مفهوم شکل‌پذیری، به عنوان پرندۀ‌ای تعریف می‌شود که در طول

- ۱- مقدمه

Please cite this article using:

A. Tarabi, S. Gasemloo, M. Mani, Experimental and Numerical Study of a Variable-Span-sweep Morphing Wing on the Aerodynamic Characteristics of a UAV, *Modares Mechanical Engineering*, Vol. 15, No. 3, pp. 125-136, 2015 (In Persian)

برای ارجاع به این مقاله از عبارت ذیل استفاده نمایید:

هوایپیماهای شکل‌پذیر که از بال‌هایی با طول دهن متفاہ استفاده می‌کنند، به صورت همزمان از مزایای بال‌هایی با طول دهنه بزرگ (افراش بردن پرواز، بهبود مصرف سوخت، افزایش بازده آبیرویدینامیکی) و بال‌هایی با طول دهنه کوچک (قابلیت پرواز سریع‌تر، قابلیت مانور بهتر و کاهش بازده آبیرویدینامیکی) بهره‌مند می‌شوند. از طرف دیگر، استفاده از تغییر طول بال به صورت نامتقارن می‌تواند جهت ایجاد گشتاور غلتش² و به عنوان جایگزینی برای سطوح کنترل شهپر³ مورد استفاده قرار گیرد [7].

استفاده از طرح شکل‌پذیری بال با تغییر زاویه پس‌گرایی در راستای افزایش عدد ماخ بحرانی هوایپیماهای جت گذر صوتی و مافق صوت، و همچنین برای افزایش قابلیت مانور در سرعت پایین و کاهش سرعت و امانندگی می‌باشد. استفاده همزمان از تغییر طول و زاویه پس‌گرایی بال در پهپادها، در راستای دستیابی به بهبود بهره‌وری آبیرویدینامیکی و قابلیت‌های چند-منظوره (برای رسیدن به هر دو فاز گشت زنی در سرعت پایین⁴ و کروز سرعت بالا⁵) می‌باشد [8].

در زمینه ایجاد طرح شکل‌پذیری با تغییر طول و زاویه پس‌گرایی بال پژوهش‌های مختلفی انجام گرفته، که از آن جمله می‌توان به تحقیقات افراد ذیل اشاره نمود. نیل و همکارانش [9]، یک پرنده با قابلیت تغییر زیاد در پلان‌فرم بال را طراحی نمودند. در این پرنده با استفاده از عملگر تلسکوپی پنوماتیک، طول بال و زاویه پس‌گرایی آن تغییر می‌یافتد. میزان تغییر نسبت منظری تا ۱۳۱٪ و مساحت بال ۳۱٪ بوده است. نتایج تونل باد نشان داد که تنها سه پیکربندی مختلف از پرنده قابلیت دستیابی به حداقل پسا را داراست. بی و همکارانش [10]، هر دو حالت مربوط به آبیرویدینامیک استاتیکی و آبیروالاستیک را در موشک کروز برد بلند مورد مطالعه قراردادند. آن‌ها برخی از مزایا و چالش‌های مرتبط با طراحی بال شکل‌پذیر دارای قابلیت تغییر طول بال را تعیین نمودند. طبق نتایج، نیروی پساي بال شکل‌پذير حدود ۰.۲۵٪ کاهش و برد پرواز حدود ۳۰ درصد افزایش داشته است. گرانت و همکارانش [11] پرنده‌های مینیاتوری با بال دارای زاویه پس‌گرایی متغیر که قابلیت پرواز در ارتفاعات کم را داشت، را مورد بررسی قراردادند. نتایج تحقیق‌شان نشان داد که زاویه پس‌گرایی متقاضان، شعاع دورزن را کاهش می‌دهد. هان و همکارانش [12]، یک مدل با بال‌های تلسکوپی را در تونل باد آزمایش نمودند. این آزمایش‌ها در راستای مطالعه تأثیر نسبت منظری متغیر بر اثرات بال نزدیک به زمین انجام گرفت. میزان تغییر نسبت منظری بال از ۳/۲ به ۳/۵ بوده که می‌توانست افزایش ۵۴/۷ درصد را در راندمان آبیرویدینامیکی (نسبت نیروی برآ به پسا) نسبت به بال پایه ایجاد نماید. گامبوا و همکارانش [13] به منظور بهبود عملکرد یک پهپاد از ایده شکل‌پذیری بال استفاده نمودند. نتیجه تحقیق‌شان که به صورت تست تونل باد انجام گرفت، کاهش ۱۴٪ تا ۳۰٪ نیروی پسا در مراحل مختلف پروازی را به همراه داشت. اسکات و همکارانش [14]، یک بال با حجم ذخیره-کم را برای پهپاد هلی⁶ با استفاده از یک طراحی هیبریدی از ترکیب طرح تلسکوپی و اسپار با پار-یاتاقانی را توسعه دادند. هدف کلی، توسعه یک بال با حجم کم برای دستیابی به نسبت راندمان آبیرویدینامیکی بیشتر از ۲۷ در ارتفاعات مختلف از ۶۰.۰۰۰ تا ۷۵.۰۰۰ پا بود. سفل‌ا و همکارانش [15]، بالی را پیشنهاد کردند که با استفاده از مواد هوشمند به پیکربندی موردنظر تغییر شکل می‌داد. در این

می‌باشد. بال هوایپیمای شکل‌پذیر به عنوان بالی است که دستخوش تغییرات قابل توجه در هندسه خود می‌باشد، به طوری که پیکربندی بال برای پروازهای متفاوت (همچون گشت زنی، پرواز کروز و مانورهایی با سرعت بالا) به طور گسترده‌ای بهینه‌سازی شده است. این بال‌ها نشان‌دهنده گام بعدی در طراحی و ساخت هوایپیماهای چندمنظوره خواهد بود [1].

تغییرات هندسی قابل توجه بال هوایپیما در طول پرواز، نتیجه‌اش دستیابی به عملکرد کارآمدتر برای اجرای نقش‌های متفاوت مأموریتی می‌باشد، نقش‌هایی که توسط هوایپیما با بال ثابت امکان‌پذیر نمی‌باشد. هوایپیماهای سنتی از عملگرهای معمول و متداول و مکانیزم‌هایی استفاده می‌کنند که زاویه پس‌گرایی بال برای پرواز در رژیم‌های مختلف را تغییر می‌دهد و یا بال‌چهها را در طول نشست و برخاست بازنموده تا مساحت و انحناء بال تغییر یابد. عملگرهای پیشرفته‌تر با استفاده از مواد هوشمند و سازه‌های تطبیقی می‌توانند بسیاری از پارامترهای هندسی را در طول پرواز تغییر دهند [2].

برای هوایپیماهای جنگنده و پهپادها جهت توسعه و دستیابی به عملکرد و راندمان بالا، مصرف سوخت بهینه و اقتصادی، بدون شک نیاز به بالی همراه با قابلیت تطبیق با مأموریت پرنده با تغییر پارامترهای اصلی پلان‌فرم بال (همچون حجم بال، طول وتر، نسبت منظری، برووفیل سخامت) می‌باشد. ازین‌رو، تغییر در شکل بال (یا همان بال شکل‌پذیر) آینده قطعی دستیابی به هوایپیماهای نسل بعدی خواهد بود [3].

پروژه‌های تحقیقاتی شکل‌پذیر در هزینه‌های ساخت، تعمیر و نگهداری و عملیاتی کردن هوایپیماها تغییرات اساسی ایجاد کردند. این فناوری‌ها هوایپیما را قادر خواهد ساخت تا تحت رنج وسیعی از شرایط پروازی کارآمدتر عمل کند. بسته‌ی پروازی فتاوری‌های شکل‌پذیر جایگزین سطوح کنترل رایج می‌شود، باعث کاهش نیروی پسا، افزایش برد پرواز و کاهش فلاٹر یا ارتعاش پرنده می‌شود. بزرگ‌ترین محرك اقتصادی برای هوایپیماهای شکل‌پذیر داشتن ناوگانی از یک نوع هوایپیمای شکل‌پذیر است که قابلیت انجام مأموریت‌ها و عملکرددهای متفاوتی را دارد، طوری که این امر در تقابل است با داشتن یک ناوگان با چندین نوع از هوایپیماها که هر کدام برای مأموریت خاصی طراحی شدند و به ازای هر هوایپیما باید یک بخش خاصی برای تعمیر و تأمین نیازمندی‌ها وجود داشته باشد [4].

به صورت کلی مزایای استفاده از طرح شکل‌پذیری در موارد ذیل خلاصه می‌شود [5] :

- الف- بهبود عملکرد هوایپیما در راستای گسترش پاکت پروازی پرنده،
- ب- استفاده از سطوح کنترل پیشرفته برای کنترل پرواز،
- ج- بهبود عملکرد و قابلیت پنهان کاری،
- د- کاهش نیروی پسا در راستای افزایش برد و مداومت پروازی،
- ه- کاهش ارتعاش یا کنترل لرزش،
- و- افزایش قابلیت‌های مأموریتی و قابلیت مانوری.

در سال‌های اخیر برای ایجاد طرح شکل‌پذیری روی هوایپیماهای کوچک تمرکز شده است (عمده‌تا پهپادها). حرکت بهسوسی پهپادها، نتیجه‌اش بهره‌وری بیشتر و تحويل در زمان کوتاه‌تر بوده است، زیرا مسائل مربوط به صدور گواهینامه و تست‌های صلاحیت کاهش خواهد یافت. بار آبیرویدینامیکی کمتر در پهپادها، نتیجه‌اش افزایش کاربرد تعدادی از فن‌آوری‌های بالقوه از طرح شکل‌پذیری در این پرنده‌ها بوده است [6].

2- Rolling Moment
3- Aileron
4- Low-Speed Loiter
5- High-Speed Dash
6- High Altitude Long Endurance(HALE)

پارامترهای آبیودینامیکی پهپاد بر اساس طرح بال اصلی و تعیین میزان تغییر در پارامترها در اثر اعمال طرح شکل‌پذیری می‌باشد. هدف اصلی از اجرای طرح شکل‌پذیری بال، افزایش برد³، مداومت پروازی⁴ و کاهش نیروی رانش موردنیاز⁵ پهپاد موردنظر بر اساس مأموریت عملیاتی آن می‌باشد.

2-تجهیزات آزمایش

کلیه آزمایش‌ها در توپل باد مدار بسته مادون صوت انجام گرفته است. در شکل 1 نمایی از این توپل باد نشان داده شده است. بعد محفظه آزمایش این توپل باد $200 \times 80 \times 80$ سانتی‌متر و حداکثر سرعت جریان 100 متر بر ثانیه و شدت آشفتگی 0/2 درصد می‌باشد. این توپل باد مجهز به یک بالانس شش مؤلفه‌ای برای اندازه‌گیری کلیه نیروها و گشتاورهای وارد به مدل می‌باشد. دردو طرف دیواره محفظه آزمایش جهت رؤیت، دریچه‌هایی از جنس پلاستیک آکرولیک شفاف تعیین شده است. شکل 2، نمایی از تست مدل در مقاطع آزمون توپل باد مادون صوت را نشان می‌دهد.

بال به صورت عمود بر کف توپل به گونه‌ای نصب می‌شود، که وتر ایرفویل بال در امتداد جریان آزاد باشد. مبدأ مختصات و نقطه چرخش مدل روی خط مرکزی مقاطع آزمون و در نقطه یک‌چهارم از خط وتر بال قرار دارد.

در انجام آزمایش‌های توپل باد باید سعی شود تا میزان خطای در حد امکان کاهش یابد. اگر بعضی از خطای را نتوان برطرف نمود باید بر اساس



شکل 1 توپل باد مدار بسته مادون صوت



شکل 2 تست مدل در مقاطع آزمون توپل باد مادون صوت

تحقیق، تجزیه و تحلیل آبیودینامیکی برای ارزیابی اثر پیکربندی مجدد شکل بال روی ضرایب برآ و پسا، انجام گرفت. واله و همکارانش [16]. عملکرد یک بال شکل‌پذیر با طول و انحنای متغیر را از لحاظ آیرو-سازهای موردنیزی داده و آن را بهینه‌سازی نمودند. بال شکل‌پذیر دارای عملکرد بهتری نسبت به بال ثابت بوده و مزایای همچون کاهش 10 درصد در نرخ صعود و 4 درصد کاهش نیروی پسا در سرعت کروز 30 متر بر ثانیه را در برداشت. آجاج و همکارانش [17]، ایده استفاده از قاب زیگزاگی برای شکل‌پذیری طول بال را موردنیزی قراردادند. در این شکل‌پذیری طول بال قابلیت تغییر تا 44٪/افزایش طول و 22٪/کاهش طول) را داشت. نتایج تحقیق آن‌ها نشان داد که استفاده از چهارچوب زیگزاگی بال را سنتگین‌تر می‌کند اما یک افزایش حداقل 5/5 درصدی را در مداومت پروازی پهپاد ایجاد خواهد نمود. بیورستوک و همکارانش [18] تأثیر شکل‌پذیری طول و پیچش بال روی عملکرد آبیودینامیکی پرنده برد و مداومت پروازی را موردنیزی قراردادند. اجرای طرح شکل‌پذیری طول بال نشان داد که سرعت بهینه برای قراردادن. ایده استفاده از چهارچوب زیگزاگی بال را سنتگین‌تر می‌کند اما یک افزایش موردنیزی قرار داده و عملکرد پهپاد را بر اساس میزان توانای عملگر غلتش و تحمل بارهای آبیودینامیکی موردنیزش قراردادند. زی- وو و همکارش [19]، مسائل مربوط به آبیودینامیک با کاهش طول بال، افزایش خواهد یافت. برویس و همکارانش [20]، تأثیر شکل‌پذیری روی پارامترهای مختلف عملکردی را موردنیزی قرار داده و عملکرد پهپاد را بر اساس میزان توانای عملگر غلتش و تحمل بارهای آبیودینامیکی موردنیزش قراردادند. زی- وو و همکارش [21] تأثیر استفاده از فن آوری شکل‌پذیری طول بال در پهپاد و همکارانش [22] روی پارامترهای آبیودینامیکی را موردنیزی قراردادند. آن‌ها مزایای میل² روی پارامترهای آبیودینامیکی را به صورت نامتقارن به جای شهریار معمول در کنترل و پایداری پرنده را بررسی نمودند. طبق نتایج، افزایش 22٪ در طول بال شکل‌پذیر به صورت متقاضان، باعث کاهش 13٪ در نیروی پسا، افزایش 6/5٪ در مداومت پرواز و کاهش 28٪ و 10٪ به ترتیب در مسافت برخاست و نشست شده است.

در پژوهش حاضر با استفاده از تکنیک تجربی(توپل باد) و عددی(نرم‌افزار فلوئیت)، مدلی مقیاسی از بال پهپاد ساخته شده و روی آن طرح شکل‌پذیری طراحی و پیاده شده است. روی مدل، قابلیت تغییر طول بال به صورت الکترومکانیکی و قابلیت تغییر زاویه پس‌گرایی به صورت مکانیکی ایجاد شده است. آزمایش‌های توپل باد برای دو هندسه مختلف از مدل با زاویه پس‌گرایی متفاوت همراه با تغییر طول بال برای زوایای حمله مختلف انجام شده است. در تحقیق حاضر، در ادامه‌ی پژوهش‌های گذشته چند فعالیت تکمیلی انجام شده است. اول، در اکثر کارهای قبلی طرح شکل‌پذیری فقط برای بال تنها اجرایشده است در حالی که در تحقیق حاضر، بال به همراه پایه ثابت در نظر گرفته شده است تا تست‌های توپل باد مجموعه کامل بال به همراه مکانیزمهای مربوطه را پوشش دهد. دوم، در کار حاضر طرح شکل‌پذیری به نحوی اجرایشده تا تغییرات کمی در وزن کلی پهپاد ایجاد کرده و پیکربندی کلی پهپاد (به صورت ویژه در نشست و برخاست) حفظ گردد. سوم، در اکثر تحقیقات قبلی طرح شکل‌پذیری روی بال‌های با پلان فرم مستطیلی پیاده شده است. اما در تحقیق حاضر پلان فرم بال به شکل ذوزنقه‌ای است که مشکلات خاص خود در طراحی و چیدمانی تجهیزات عملگر به خاطر کوچکی مدل را به دنبال خواهد داشت.

آنچه در این تحقیق دارای اهمیت است، بررسی و تعیین شرایط موجود

3- Range

4- Endurance

5- Thrust Required

1- Flapping Wing

2- Medium Altitude Long Endurance unmanned Air Vehicles

3- مشخصات مدل توپل باد

به منظور بررسی تجربی مشخصه‌های جریان در اطراف بال پیپاڈ موردنظر، یک مدل از بال اصلی طراحی و ساخته شد. مدل ساخته شده شامل بال متوجه و پایه ثابت می‌باشد. بال متوجه از بال خارجی و بال داخلی تشکیل شده است. بال خارجی از آلومینیوم کاملاً صیقلی شده و بال داخلی از برنز ساخته شده است. بال خارجی فقط قابلیت تغییر زاویه پس گرایی و بال داخلی قابلیت تغییر طول و تغییر زاویه پس گرایی را دارد. مقطع مدل بال متوجه از ابرفویل نامتقرن از نوع "ناکا 641212" می‌باشد. زاویه پس گرایی بال اولیه (بدون اعمال طرح شکل پذیری) در لبه حمله 33 درجه، طول 25 سانتی‌متر، و تر ریشه 20 سانتی‌متر و تر نوک 4 سانتی‌متر می‌باشد. پایه ثابت برای نگهداری از بال متوجه و از جنس چوب ساخته شده است. مکانیزم تغییر زاویه پس گرایی بال متوجه در بال پایه قرار گرفته است. بعداز این، در هرجای مقاله که در مورد مدل توپل باد بحث می‌شود، منظور ترکیب بال متوجه با پایه ثابت می‌باشد. نمایه ای از مدل توپل باد در شکل 4 نشان داده شده است.

4- عملگر تغییر طول بال داخلی

جهت تغییر طول بال داخلی از یک عملگر الکترومکانیکی استفاده شده است. مکانیزم طراحی شده شامل یک موتور الکتریکی است که در نزدیکی ریشه بال خارجی (در محل حداکثر ضخامت ممکن) قرار داشته و با یک شفت به بال داخلی متصل شده است. با استفاده از یک منبع تغذیه (قابل تنظیم در ولتاژهای مختلف از 4 الی 24 ولت)، تعداد دور شفت اتصالی به موتور تغییر کرده و متناسب با آن میزان جابجایی بال داخلی نیز تغییر خواهد یافت. موتور الکتریکی قابلیت چرخش ساعت‌گرد (افزایش طول بال داخلی) و چرخش پادساعت‌گرد (کاهش طول بال داخلی) را دارد. است. در شکل 5، بال متوجه به همراه عملگر تغییر طول بال داخلی نشان داده شده است.

5- عملگر تغییر زاویه پس گرایی بال متوجه

عملگر تغییر زاویه پس گرایی بال توپل یک سیستم مکانیکی انجام می‌شود. این سیستم از دو بخش اصلی تشکیل شده است. بخش اول که توسط یک شفت به نقطه یک‌چهارم و تر بال از لبه حمله متصل می‌شود و بخش دیگر که با یک پیچ تنظیم به بخش اول متصل بوده و به پایه بالانس توپل باد وصل می‌شود. تغییر زاویه پس گرایی با تغییر زاویه بخش اول نسبت به بخش دوم و با استفاده از پیچ تنظیم صورت می‌گیرد. در شکل 6، مدل توپل باد به همراه عملگر تغییر زاویه پس گرایی بال متوجه نشان داده شده است.

6- فرایند آزمایش

برای آنکه به نتایج دقیقی در آزمایش‌ها دست یابیم، ابتدا سیستم بالانس و شرایط جریان در توپل باد کالیبره شده است. آزمایش‌های تجربی در سرعت‌های 50، 60 و 70 متر بر ثانیه که متناسب با اعداد رینولدز در محدوده 500,000 تا 750,000 می‌باشد، انجام گرفته است. آزمایش‌ها برای دو هندسه مختلف مدل توپل باد (مدل بال زاویه پس گرایی 33 درجه و مدل بال زاویه پس گرایی 45 درجه همراه با تغییر طول بال از صفر تا 10 سانتی‌متر) در زوایای حمله بین 4- درجه تا 18 درجه انجام شده است.

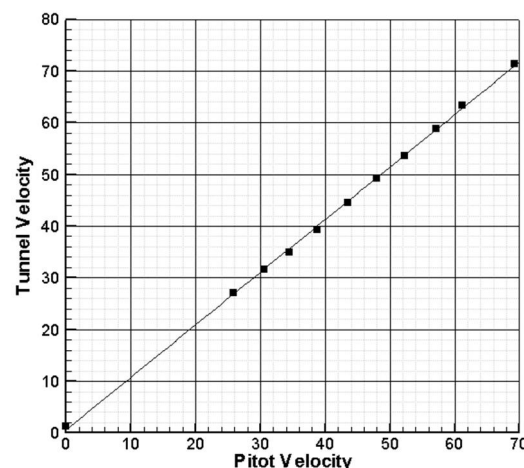
فرمول‌های محاسباتی داده‌های آزمایش را تصحیح نمود. خطاهای به دو دسته سیستماتیک و تصادفی تقسیم می‌شود. خطای سیستماتیک همان خطای ذاتی دستگاه است که با مقایسه با مرجع مورد اطمینان بدست می‌آید. خطای تصادفی نیز از روی داده‌های زمانی هر کدام از لود سل‌ها بدست می‌آید و در واقع تابعی از انحراف معیار داده‌ها قبل از متوسط گیری است. در تحقیق حاضر، خطاهای موجود شامل موارد زیر می‌باشد:

الف-خطای اندازه گیری سرعت توپل باد: سرعت در مقطع آزمون توپل باد، با استفاده از سنسورهای فشاری نصب شده در نقاط مختلف مقطع ازمن و تبدیل خروجی انها به سرعت توسط نرم‌افزار کنترلی توپل تعیین می‌شود. برای اطمینان از صحت اندازه گیری سرعت، در مقطع ازمن توپل، لوله پیتوتی در مرکز مقطع ازمن توپل قرار داده شده و فشارهای استاتیک و کل را در این نقطه برداشت و تبدیل به سرعت می‌نماید. نتایج به صورت شکل 3 می‌باشد که می‌توان نتیجه گرفت که سرعت اندازه گیری شده توسط توپل باد 1/5 متر بر ثانیه خطا دارد. با استفاده از شکل 3 مقدار سرعت در آزمایش‌ها اصلاح می‌گردد [22].

ب-خطای تنظیم موقعیت مدل در زاویه حمله موردنظر: اگرچه با استفاده از زاویه سنج دیجیتالی و شابلون مدل، سعی شد که مدل دقیقاً در زاویه حمل موردنظر قرار گیرد، اما در طول آزمایش به دلیل خطای دید و میزان دقت درجه‌بندی صفحه تنظیم، همواره مقداری خطا در تنظیم زوایای مختلف ایجاد می‌شود. میزان خطا در این حالت حدود 0/2 درجه می‌باشد.

ج-خطای موجود در ساخت مدل: به دلیل خطای دستگاه‌های دستگاهی در مدل، همواره در این مرحله مقداری خطا ایجاد می‌شود که بر نتایج تست تأثیرگذار است. یکی از این خطاهای در ساخت و نصب موقعیت بال نسبت به پایه ثابت ایجاد شده است. محور مرکزی بال (در نقطه یک چهارم وتر) نسبت به پایه ثابت باید به صورت عمودی قرار گیرد، اما بعد از مونتاژ نهایی دارای یک خطای زوایای حدود 0/3 درجه بود. البته در انجام تست‌ها زاویه فوق در تغییر زاویه پس گرایی بال لحظه شده است.

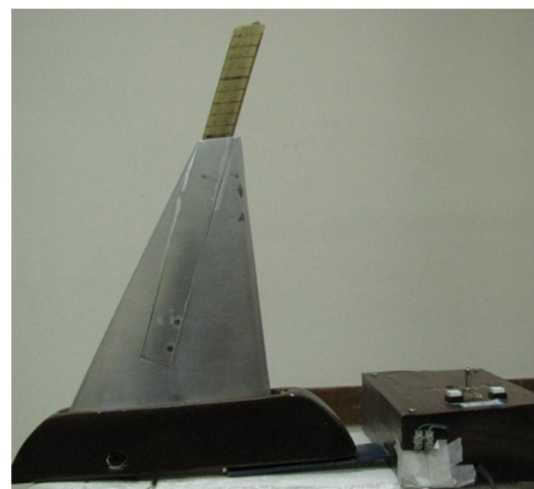
د-خطای دستگاه‌های اندازه گیری: اگرچه دستگاه به دقت کالیبره می‌شود ولی وجود مقداری خطا در ثبت اطلاعات اجتناب‌ناپذیر است. یکی از خطاهای مربوط به پنل کنترل تنظیم سرعت می‌باشد که دارای دقت در حد 0/2 درصد می‌باشد. مثلاً برای سرعت 60 متر بر ثانیه مقدار سرعت می‌تواند در محدوده (60/1-59/9) قرار گیرد.



شکل 3 نمودار تغییرات مقدار سرعت توپل باد با استفاده از نرم افزار کنترلی توپل بر حسب سرعت واقعی بدست آمده از لوله پیتوت [22]

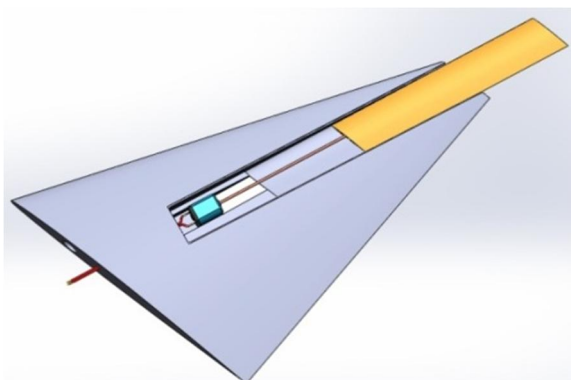


ب- نحوه قرارگیری مدل در مقطع آزمون

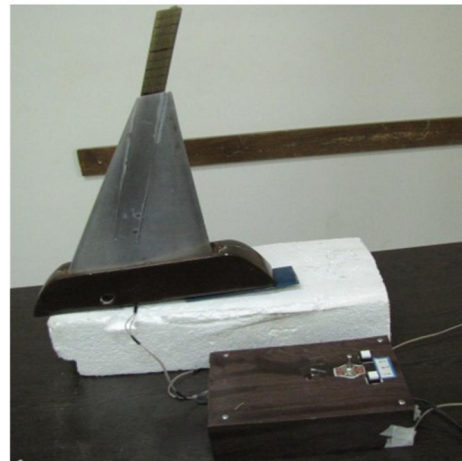


الف- نمایی بیرونی از مدل تونل باد با افزایش طول بال داخلی

شکل 4 نمایی از مدل تونل باد

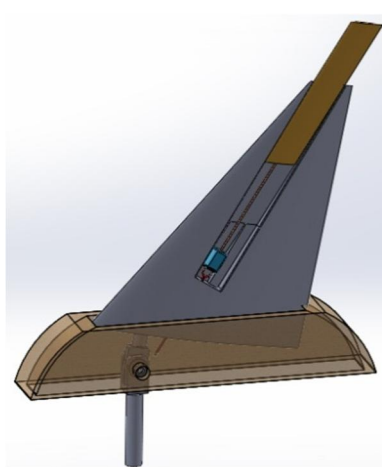


ب- نمایی داخلی از مکانیزم تغییر طول بال داخلی (با موتور الکتریکی)

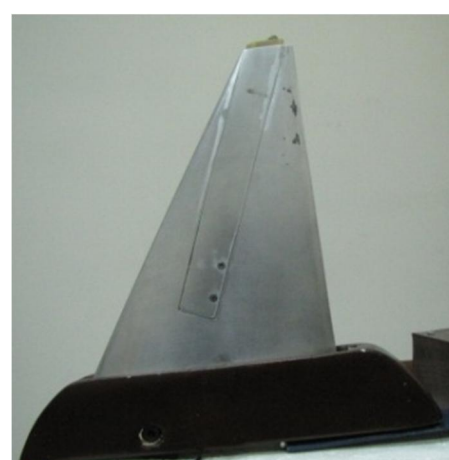


الف- نمایی بیرونی از مکانیزم تغییر طول بال داخلی (با منبع تقدیم)

شکل 5 بال متحرک به همراه عملگر تغییر طول بال داخلی



ب- بال متحرک همراه با مکانیزمهای داخلی



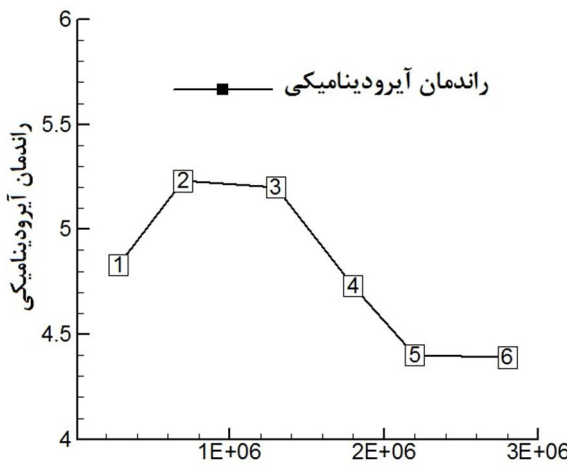
الف- نمایی از بال با زاویه پس‌گرایی 33 درجه

شکل 6 مدل تونل باد به همراه عملگر تغییر زاویه پس‌گرایی بال متحرک

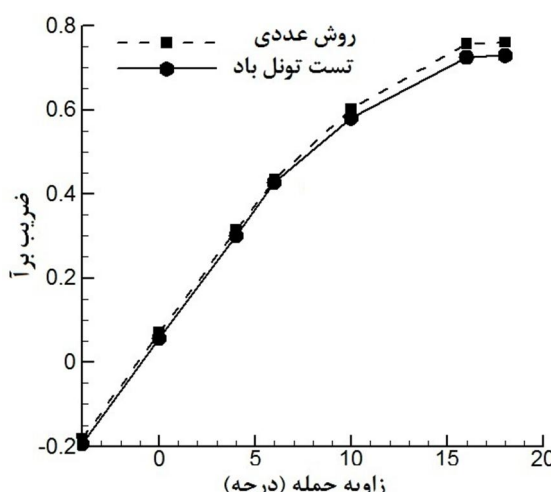
در شکل 9 نتایج فلوقنت با داده‌های توپل باد برای ضریب پسا بر حسب زاویه حمله در زاویه پس‌گرایی 45 درجه و سرعت 70 متر بر ثانیه برای افزایش طول بال 100 درصد با یکدیگر مقایسه شده‌اند. طبق نمودار اختلاف بین دو روش در حد قابل قبولی می‌باشد.

در شکل 10 نتایج تجربی و عددی تغییرات راندمان آیروودینامیکی در زاویه حمله مختلف برای بال با زاویه پس‌گرایی 33 درجه نشان داده شده است. طبق نمودار، اختلاف بین نتایج کم بوده و بهترین عملکرد آیروودینامیکی در زاویه شش درجه محقق شده است. اگر پرنده در این زاویه حمله پرواز بکند دارای حداکثر مداومت و برد پرواز خواهد بود. در این زاویه، پرنده به حداقل نیروی رانش نیز نیاز خواهد داشت. با توجه به آنکه حداکثر زمان پرواز پرنده در فاز گشت زنی طی می‌شود، لذا توصیه می‌شود پرنده جهت دستیابی به عملکرد پروازی بهینه در زاویه حمله 6 درجه پرواز کند.

8- بررسی تأثیر اجرای طرح شکل‌بندیری بال با طول و زاویه پس‌گرایی متغیر روی ضرایب آیروودینامیکی بر اساس نتایج تجربی هدف اصلی از این تحقیق، تعیین میزان افزایش مداومت و برد پروازی پهپاد در اثر اجرای طرح شکل‌بندیری است، لذا در این بخش پارامتر اصلی تأثیرگذار در مداومت و برد پرواز یعنی راندمان آیروودینامیکی مدنظر قرار می‌گیرد. از



شکل 7 بررسی استقلال از شبکه راندمان آیروودینامیکی



شکل 8 مقایسه نتایج تجربی و عددی تغییرات ضریب برآ نسبت به زاویه حمله

سیستم ثبت اطلاعات توپل باد قابلیت ثبت 2000 نمونه در هر موقعیت را دارد. با تنظیم زمان ثبت اطلاعات روی 4 ثانیه روی هر موقعیت 500 نمونه از داده‌ها ثبت شده است. انتخاب 4 ثانیه بر اساس زمان افزایش طول بال از صفر تا صد درصد بوده است. تغییر طول بال با افزایش طول صد درصد به اندازه 10 سانتی‌متر می‌باشد. شرایط انجام تست توپل باد طبق جدول 1 می‌باشد.

7- مقایسه داده‌های تجربی با نتایج شبیه‌سازی عددی

برای ایجاد دید فیزیکی و بررسی دقیق‌تر، داده‌های تجربی حاصل از تست توپل باد با نتایج عددی حاصل از نرم‌افزار فلوقنت برای تغییرات ضرایب برآ، پسا و راندمان آیروودینامیکی برحسب زاویه حمله باهم مقایسه شده‌اند.

جهت شبیه‌سازی عددی جریان حول مدل، از نرم‌افزار تجاری فلوقنت (نسخه 15) استفاده گردید. در این بخش، از مدل‌سازی سه‌بعدی و پایا استفاده شد. جهت تولید شبکه محاسباتی برای حل عددی از امکانات مدل‌ساز گمبیت نسخه 2.4.6 استفاده گردید. شرایط مرزی برای جریان غیرقابل تراکم، در ورودی بر پایه سرعت ورودی یا همان سرعت توپل باد و در خروجی بر پایه فشار (به صورت ثابت 85500 پاسکال) می‌باشد. برای مدل‌سازی آشفتگی از مدل اسپارت-آلماراس¹ استفاده شده است. به منظور حل معادلات جریان و فشار از الگوریتم سیمپل سی² و برای تامامی مشتقات موجود، از تقریب مرتبه دوم استفاده شده است. علت استفاده از مدل آشفتگی اسپارت-آلماراس به خاطر طراحی این مدل برای کاربردهای هوافضایی و نرخ همگرایی سریع‌تر این مدل در مقایسه با دیگر مدل‌ها می‌باشد.

برای اطمینان از مناسب بودن شبکه و همین‌طور عدم وابستگی حل و جواب‌های ارائه شده به شبکه تولیدی، پیش از انجام تحلیل‌های عددی، فرآیند استقلال حل از شبکه انجام گرفته است. تغییرات راندمان آیروودینامیکی (هدف اصلی اجرای طرح شکل‌بندیری در این تحقیق) به عنوان پارامتر معیار جهت مقایسه نتایج به دست آمده از شبکه‌ها مورد مطالعه قرار گرفته است. با توجه به نتایج ارائه شده در شکل 7 و تغییرات بسیار ناچیز راندمان آیروودینامیکی بین نقاط 5 و 6، برای انجام تحلیل‌ها از شبکه مربوط به نقطه 5، با تعداد 2/200/000/2 سلول استفاده شده است.

در شکل 8 نتایج تجربی و عددی تغییرات ضریب زاویه حمله برای بال با زاویه پس‌گرایی 33 درجه رسم شده است. نتایج عددی (حاصل از نرم‌افزار فلوقنت) در زاویه حمله پایین و قبل از واماندگی دارای تطابق خوبی با داده‌های تجربی می‌باشند. با نزدیک شدن به مرحله واماندگی و در زاویه حمله بالا، به خاطر مسائلی همچون جدای جریان و لرزش مدل که به بالانس توپل باد نیز وارد می‌شود، تنازع دارای اختلاف بیشتری می‌باشند. با توجه به شکل 7، نتایج شبیه‌سازی عددی در هر زاویه حمله‌ای دارای مقادیر بیشتری نسبت به داده‌های تجربی می‌باشند. این مسئله به خاطر بالاتر بودن زاویه واماندگی نتایج عددی نسبت به داده‌های تجربی می‌باشد.

جدول 1 شرایط انجام تست توپل باد

پارامتر	محدوده تغییرات
سرعت (متر بر ثانیه)	60 و 70
زاویه پس‌گرایی (درجه)	45 و 33
افزایش طول بال (متر)	0/1 تا 4- تا 18
زاویه حمله (درجه)	1- Sparat-Allmaras 2- Simplec

1- Sparat-Allmaras
2- Simplec

مساحت بیشتر بوده که خود موجب افزایش ضریب برآ می‌شود. در شکل 12، تغییرات ضریب پسا مدل برحسب زاویه حمله در زاویه پس گرایی 45 درجه و سرعت 70 متر بر ثانیه به ازای افزایش طول بال از صفر تا صد درصد رسم شده است. طبق نمودار، با افزایش طول بال در یک سرعت ثابت، ضریب پسا مدل کاهش خواهد داشت. دلیل آن این است که، افزایش طول بال، سطح بال را افزایش داده و باعث کاهش توزیع برآ در جهت دهنده بال برای نیروی برآ مشابه می‌شود. که این مسئله موجب کاهش پسای القایی و در نتیجه کاهش نیروی پسای کل خواهد شد. به عبارت دیگر افزایش طول بال، کاهش ضریب پسا را به دنبال خواهد داشت. مقدار پسای القایی از معادله (1) محاسبه می‌شود [23].

$$CD_i = \frac{C_L^2}{\pi AR_e} \quad (1)$$

در شکل 13، تغییرات ضریب پسا مدل برحسب زاویه حمله در زاویه پس گرایی 45 درجه و با افزایش طول بال به 100 درصد به ازای افزایش سرعت از 50 به 70 متر بر ثانیه رسم شده است. طبق نمودار، با افزایش سرعت، ضریب پسا مدل کاهش می‌یابد. این کاهش به خاطر افزایش عدد رینولدز به ازای افزایش سرعت است. افزایش عدد رینولدز همراه با افزایش نیروی پسا و کاهش ضریب پسا خواهد بود.

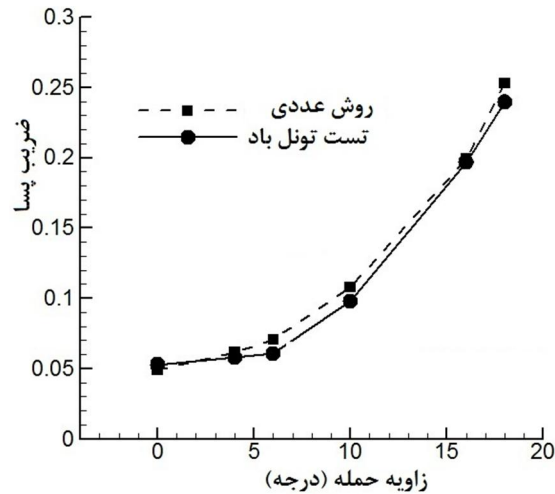
در شکل 14، تغییرات راندمان آبیودینامیکی مدل برحسب زاویه حمله در زاویه پس گرایی 45 درجه و سرعت 70 متر بر ثانیه به ازای افزایش طول بال از صفر تا 100 درصد رسم شده است. طبق نمودار با افزایش طول بال در یک سرعت ثابت، راندمان آبیودینامیکی مدل افزایش خواهد یافت. علت این افزایش به خاطر افزایش ضریب برآ و کاهش ضریب پسا می‌باشد. همان‌طوری که مشاهده می‌شود حداکثر راندمان آبیودینامیکی در زاویه حدود 6 درجه رخ می‌دهد. زاویه‌ای که پهپاد در انحدار رانش موردنیاز و حداکثر مداومت و برد پرواز را تجربه خواهد نمود.

در شکل 15، تغییرات راندمان آبیودینامیکی مدل برحسب زاویه حمله در زاویه پس گرایی 45 درجه و افزایش طول بال 100 درصد به ازای افزایش سرعت از 50 به 70 متر بر ثانیه رسم شده است. طبق نمودار، با افزایش سرعت، راندمان آبیودینامیکی افزایش می‌یابد. این افزایش به خاطر افزایش ضریب برآ و کاهش ضریب پسا می‌باشد. حداکثر راندمان آبیودینامیکی در زاویه حدود 6 درجه رخ می‌دهد.

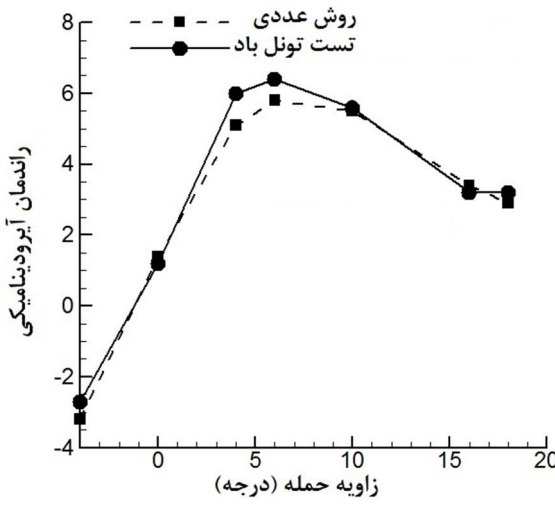
در شکل 16، تغییرات ضریب برآ مدل برحسب زاویه حمله در سرعت 50 متر بر ثانیه و افزایش طول بال 100 درصد به ازای افزایش زاویه پس گرایی از 33 به 45 درجه رسم شده است. طبق نمودار، با افزایش زاویه پس گرایی در یک سرعت ثابت، ضریب برآ و شبکه منحنی برآ مدل کاهش خواهد یافت.

در شکل 17، تغییرات ضریب پسا مدل برحسب زاویه حمله در سرعت 70 متر بر ثانیه و افزایش طول بال 100 درصد به ازای افزایش زاویه پس گرایی از 33 به 45 درجه رسم شده است. طبق نمودار با افزایش زاویه پس گرایی در یک سرعت ثابت، ضریب پسا مدل کاهش خواهد یافت.

در شکل 18، تغییرات راندمان آبیودینامیکی مدل برحسب زاویه حمله در سرعت 50 متر بر ثانیه و افزایش طول بال 100 درصد به ازای افزایش زاویه پس گرایی از 33 به 45 درجه رسم شده است. طبق نمودار با افزایش زاویه پس گرایی در یک سرعت ثابت، راندمان آبیودینامیکی مدل کاهش می‌یابد.



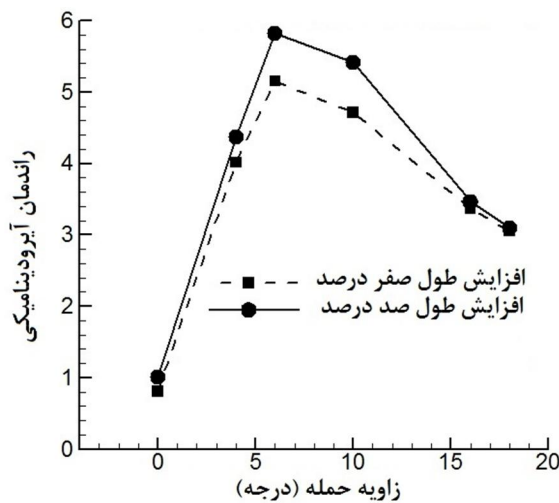
شکل 9 مقایسه نتایج تجربی و عددی تغییر ضریب پسا با زاویه حمله



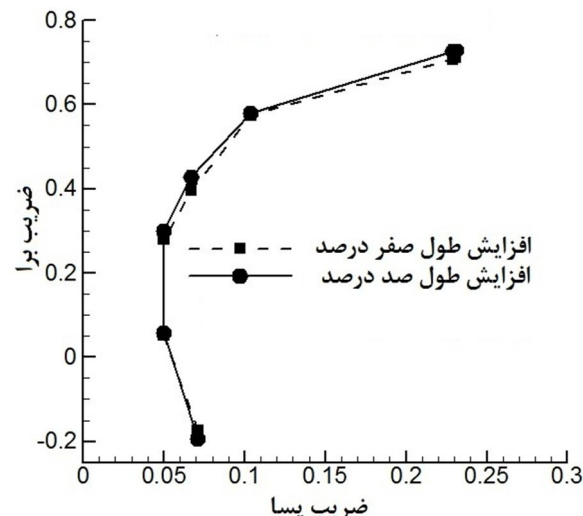
شکل 10 مقایسه نتایج تجربی و عددی تغییر راندمان آبیودینامیکی با زاویه حمله

طرفی دیگر محدوده عملیاتی پهپاد در زوایای حمله بین 2- تا 8 درجه است، لذا در بررسی‌ها محدوده زوایای حمله در بازه 4- تا 10 درجه مدنظر قرار می‌گیرد تا شرایط عملیاتی پهپاد را پوشش دهد. با توجه به آنکه مقادیر عددی ضرایب برآ و پسا برای سرعت‌های 50 و 70 متر بر ثانیه بسیار به هم نزدیک می‌باشند، لذا تصمیم بر ان شد که جهت تشخیص بهتر تغییرات بین نتایج فقط مقادیر مربوط به سرعت‌های 50 و 70 آورده شود. از طرف دیگر با توجه به آنکه روند تغییر نمودارها برای افزایش سرعت، افزایش طول بال و افزایش زاویه‌های پس گرایی مشابه هم می‌باشند، لذا سعی شده جهت کاهش تعداد نمودارها، نمودارهای مربوط به یکی از شرایط موردنیاز آورده شود.

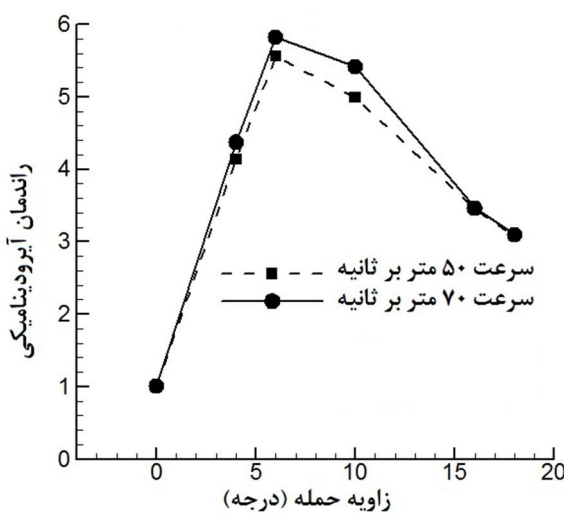
در شکل 11، تغییرات ضریب برآ برحسب ضریب پسا در زاویه پس گرایی 33 درجه و سرعت 50 متر بر ثانیه به ازای افزایش طول بال از صفر تا 100 درصد رسم شده است. طبق نمودار با افزایش طول بال در یک سرعت ثابت، ضریب برآ افزایش می‌یابد. افزایش طول بال سبب افزایش سرعت ثابت، ضریب برآ افزایش می‌یابد. که در ان نیروی برآ نسبت به سطح و فشار دینامیکی بی بعد می‌شود، بهنظر می‌رسد که ضریب برآ با افزایش مساحت تغییر نکند. اما نیروی برآ تابع پارامترهای متعدد دیگری غیر از مساحت نیز می‌باشد و لزوماً تغییر نیروی برآ با مساحت خطی نیست. طبق نتایج تجربی و عددی حاصله، تغییرات نیروی برآ در مقایسه با تغییرات



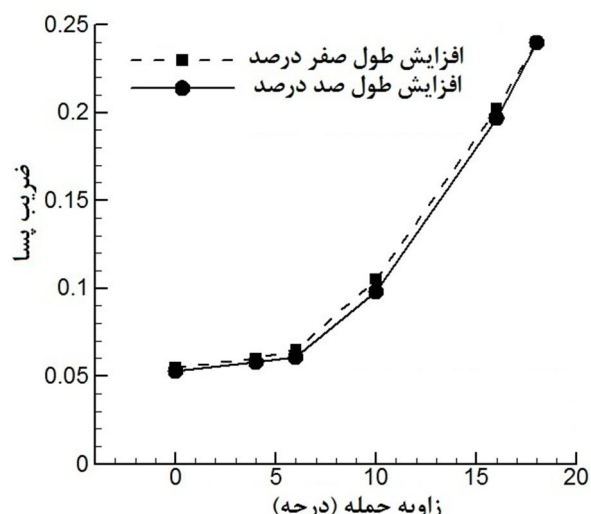
شکل 14 تغییر راندمان آیروودینامیکی با زاویه حمله بازه افزایش طول بال



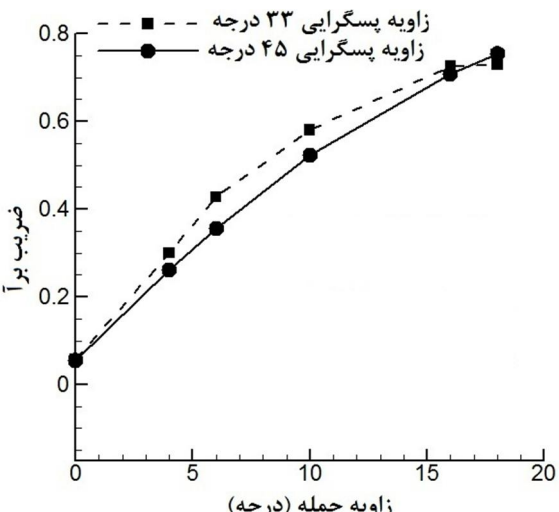
شکل 11 تغییر ضریب برآ با ضریب پسا بازی افزایش طول بال



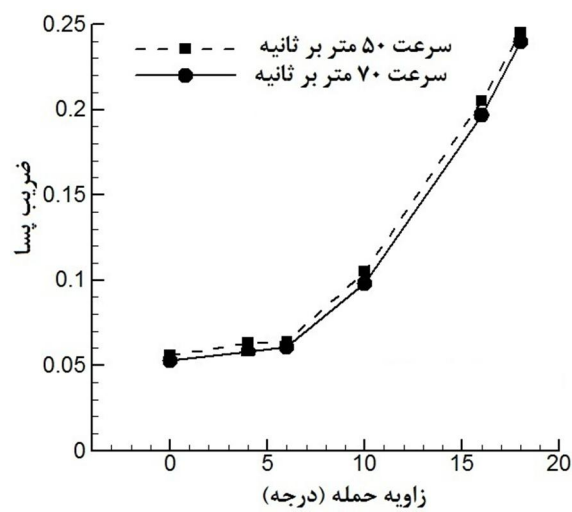
شکل 15 تغییر راندمان آیروودینامیکی با زاویه حمله بازه افزایش سرعت



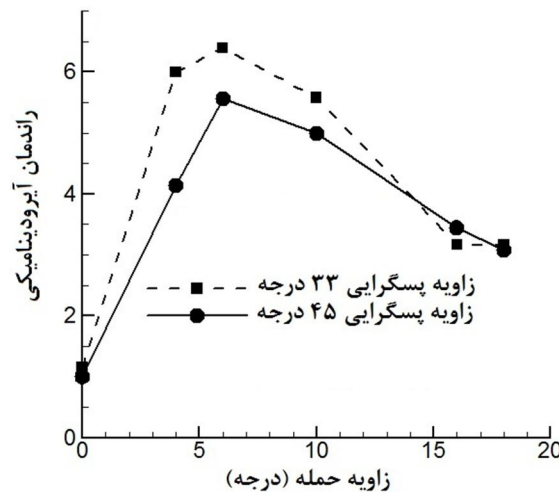
شکل 12 تغییر ضریب پسا با زاویه حمله بازی افزایش طول بال



شکل 16 تغییر ضریب برآ با زاویه حمله بازه افزایش زاویه پس گرایی بال



شکل 13 تغییر ضریب پسا با زاویه حمله بازه افزایش سرعت



شکل 18 تغییر راندمان آیروودینامیکی با زاویه حمله بازاء افزایش زاویه پس‌گرایی بال

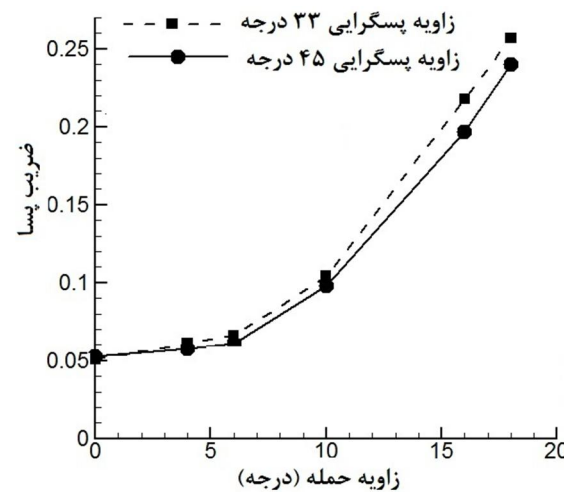
نرم‌افزار فلورنت 7 می‌باشد که در زاویه حمله 6 درجه اتفاق می‌افتد. با استفاده از معادله (2)، جدول 3 و تغییرات وزنی پرنده برای طرح شکل‌بزیری، میزان حداکثر تغییر مداومت پروازی پرنده به صورت جدول 4 خواهد بود. طبق نتایج جدول 4، حداکثر تغییرات مداومت پروازی بال شکل‌بزیر نسبت به بال پایه بر اساس نتایج تجربی 13/6 درصد و بر اساس نتایج عددی 13/5 درصد افزایش خواهد داشت. معادله ریاضی جهت محاسبه برد پروازی هوایپیمای جت به صورت رابطه (5) می‌باشد [23]:

$$R = \frac{2}{c_t} \left(\frac{2}{\rho_\infty S} \right)^{0.5} \frac{C_L^{0.5}}{C_D} (W_0^{0.5} - W_1^{0.5}) \quad (5)$$

طبق رابطه (5) جهت دستیابی به حداکثر برد پرواز، با توجه به ثابت بودن پیشرانه و وزن سوت پرنده، حصول حداکثر مقدار $\left(\frac{C_L}{C_D}\right)_{max}$ مد نظر می‌باشد. حداکثر مقدار $\left(\frac{C_L}{C_D}\right)_{max}$ برابر است با [23]:

$$\left(\frac{C_L}{C_D}\right)_{max} = \frac{\left(\frac{1}{3}\pi e AR C_{D,0}\right)^{\frac{1}{4}}}{\frac{4}{3} C_{D,0}} \quad (6)$$

طبق روابط (6)، حداکثر مقدار $\left(\frac{C_L}{C_D}\right)_{max}$ به $AR, e, C_{D,0}$ بستگی دارد که جزء پارامترهای آیروودینامیکی هوایپیما می‌باشد. با استفاده از رابطه (5)، میزان حداکثر تغییر برد پروازی پرنده به صورت جدول 5 خواهد بود. طبق نتایج آورده شده در جدول 5 حداکثر تغییرات برد پروازی بال شکل‌بزیر نسبت به بال پایه بر اساس نتایج تجربی 8/85 درصد و بر اساس نتایج عددی 8/17 درصد افزایش خواهد داشت.



شکل 17 تغییر ضریب پسا با زاویه حمله بازاء افزایش زاویه پس‌گرایی بال

9- مزایای استفاده از طرح شکل‌بزیری بال با طول و زاویه پس‌گرایی متغیر جهت افزایش بد و مداومت پروازی پهپاد بر اساس نتایج تجربی و عددی

برای تعیین مزایای استفاده از اجرای طرح شکل‌بزیری، ابتدا مشخصات مربوط به بال برای حالات مختلف شکل‌بزیری در جدول 2 ارائه شده است. رابطه ریاضی جهت محاسبه مداومت پروازی و حداقل رانش موردنیاز هوایپیمای جت به صورت زیر می‌باشد [23]:

$$E = \frac{1}{c_t} \frac{C_L}{C_D} \ln\left(\frac{W_0}{W_1}\right) \quad (2)$$

$$(T_R)_{min} = \frac{W_0}{\left(\frac{C_L}{C_D}\right)_{max}} \quad (3)$$

$$W_1 = W_0 - W_f \quad (4)$$

حداکثر مداومت پرواز برای هوایپیمای جت هنگامی به دست می‌آید که هوایپیما با حداقل نیروی رانش موردنیاز پرواز کند. طبق معادله (3)، نقطه متناسب با حداقل نیروی رانش موردنیاز، برابر با حداکثر نسبت ضریب برآ به پسا می‌باشد. بنابراین، حداکثر مداومت پرواز برای هوایپیمای جت هنگامی حاصل می‌شود که هوایپیما با سرعتی معادل با حداکثر نسبت ضریب برآ به پسا پرواز کند.

در جدول 3، تغییرات راندمان آیروودینامیکی مدل شکل‌بزیر نسبت به مدل پایه آورده شده است. حداکثر تغییرات راندمان آیروودینامیکی مدل شکل‌بزیر نسبت به مدل پایه، برای نتایج تست تونل باد 13/8 و برای نتایج

جدول 2 مشخصات هندسی بال در حالات مختلف شکل‌بزیری

شکل هندسی مدل	طول(متر)	مساحت(مترا مربع)	نسبت منظری	درصد تغییرات زاویه پس‌گرایی	درصد تغییرات طول مدل	درصد تغییرات مساحت	مدل شکل‌بزیر به مدل پایه	مدل شکل‌بزیر به مدل پایه	مدل شکل‌بزیر به مدل پایه
مدل با زاویه پس‌گرایی 33 درجه و افزایش طول صد	0/0453	0/311	2/135	33	-	-	-	-	مدل پایه
مدل با زاویه پس‌گرایی 45 درجه و افزایش طول صد	0/04808	0/404	3/395	45	6/14	30	-	-	مدل با زاویه پس‌گرایی 45 درجه و افزایش طول صد
مدل با زاویه پس‌گرایی 45 درجه و افزایش طول صد	0/04578	0/3547	2/748	45	6/47	35/54	36	-	مدل با زاویه پس‌گرایی 45 درجه و افزایش طول صد

جدول 3 حداکثر تغییرات راندمان آبودینامیکی مدل شکل‌پذیر نسبت به مدل پایه

زاویه حمله (درجه)	درصد تغییرات حداکثر راندمان آبودینامیکی مدل شکل‌پذیر به مدل پایه	سرعت(متر بر ثانیه)	روش	نوع مدل
6	12/3	50	تجربی	مدل با زاویه پس‌گرایی 33 درجه و افزایش طول صد درصد
	13/8	70		
6	13/5	50	عددی	مدل با زاویه پس‌گرایی 45 درجه و افزایش طول صد درصد
	13/7	70		
6	9/8	50	تجربی	مدل با زاویه پس‌گرایی 45 درجه و افزایش طول صد درصد
	11/5	70		
6	10/4	50	عددی	مدل با زاویه پس‌گرایی 45 درجه و افزایش طول صد درصد
	12/5	70		

جدول 4 حداکثر تغییرات مداومت پرواز

تغییرات	سرعت 50 متر بر ثانیه	سرعت 70 متر بر ثانیه	روش	شكل هندسی مدل
درصد تغییرات	13/6	12/1	تجربی	مدل با زاویه پس‌گرایی 33 درجه و افزایش طول صد درصد نسبت به مدل پایه
	13/5	13/3	عددی	
مداومت پروازی	11/3	9/6	تجربی	مدل با زاویه پس‌گرایی 45 درجه و افزایش طول صد درصد نسبت به مدل پایه
	12/3	10/2	عددی	

جدول 5 حداکثر تغییرات برد پرواز

تغییرات	سرعت 50 متر بر ثانیه	سرعت 70 متر بر ثانیه	روش	شكل هندسی مدل
درصد تغییرات	8/85	6/82	تجربی	مدل با زاویه پس‌گرایی 33 درجه و افزایش طول صد درصد نسبت به مدل پایه
	8/17	7/76	عددی	
برد پرواز	7/9	4/53	تجربی	مدل با زاویه پس‌گرایی 45 درجه و افزایش طول صد درصد نسبت به مدل پایه
	6/19	5/44	عددی	

به صورت تئوری (محاسباتی) از معادله (7) استفاده می‌شود [24]:

$$RM = \rho_{\infty} \times (V^2) \times \tau \times a_0 \times S_a \times \delta_a \quad (7)$$

با استفاده از رابطه (7) مقدار محاسباتی گشتاور غلتتش مطابق جدول 6 می‌باشد. بر اساس داده‌های تونل باد مقدار تجربی گشتاور غلتتش نیز در جدول 6 آورده شده است.

طبق نتایج جدول 6، میزان گشتاور غلتشی تجربی ایجادشده برای شرایط مشابه حدوداً دو برابر گشتاور غلتشی شهرپ می‌باشد. اگر به جای شهرپ از طرح شکل‌پذیری بال با طول دهنۀ متغیر استفاده شود اضافه وزن حاصل از نصب شهرپ به همراه مکانیزم‌های آن را می‌توان با اضافه وزن حاصل از طرح شکل‌پذیری بال با طول دهنۀ متغیر جبران نمود.

10- کنترل غلت پهپاد با استفاده از اجرای طرح شکل‌پذیری بال با طول دهنۀ متغیر

جهت دستیابی به گشتاور غلتش می‌توان از سطوح کنترل نصب شده روی بال که شهرپ نام دارد استفاده نمود. این روش به عنوان یک روش سنتی و معمول می‌باشد. روش دیگر برای ایجاد گشتاور غلتش استفاده از شکل‌پذیری بال با طول دهنۀ متغیر می‌باشد. در این روش می‌توان بال را به دو قسمت چپ و راست (نسبت به خط مرکزی عبوری از محور طولی پهپاد) تقسیم نمود و جهت دستیابی به غلت راست یا چپ، افزایش طول روی بال در سمت چپ یا راست ایجاد نمود. برای محاسبه گشتاور غلتش

جدول 6 مقدار گشتاور غلتشی بر اساس نتایج تست تونل باد و روش محاسباتی

زاویه پس‌گرایی بال (درجه)	روش	سرعت(متر بر ثانیه)	زاویه (درجه)		
			4	6	10
33	تست تونل باد	50	0/449	0/667	0/692
		70	0/917	1/247	1/415
	محاسباتی	50	0/2	0/3	0/5
		70	0/392	0/588	0/98
45	تست تونل باد	50	0/442	0/460	0/685
		70	0/627	0/913	1/045
	محاسباتی	50	0/19	0/285	0/475
		70	0/372	0/559	0/931

11- نتیجه‌گیری

هدف از این پژوهش، بررسی تجربی حاصل از اجرای طرح شکل‌پذیری روی بال یک پهپاد برای توسعه عملکرد پروازی آن می‌باشد. جهت اجرای این طرح، یک بال شکل‌پذیر با قابلیت تغییر طول و تغییر زاویه پس‌گرایی به همراه مکانیزم‌های مربوط به آن طراحی، ساخته و تست شده است. آزمایش‌های تجربی در یک تونل باد سرعت پایین با سرعت‌های ۵۰، ۶۰ و ۷۰ متر بر ثانیه متناسب با اعداد رینولدز در محدوده ۵۰,۰۰۰ تا ۷۵۰,۰۰۰ است. نتایج عددی نیز با استفاده از نرم‌افزار فلوئنت بدستآمده است. نتایج بدستآمده از این بررسی نشان‌دهنده بهبود ویژگی‌های آیرودینامیکی بال شکل‌پذیر نسبت به بال پایه می‌باشد، این مسئله به فرم کاهش پسای القایی و افزایش راندمان آیرودینامیکی ظاهر شده است. مطالعات تجربی و عددی حاصل از تحقیق حاضر بصورت موارد ذیل خلاصه می‌شوند:

۱- طبق نتایج تجربی و عددی بدستآمده برای بال شکل‌پذیر نسبت به بال پایه، مداومت پروازی به ترتیب $13/6$ و $13/5$ درصد و برد پروازی به ترتیب $8/17$ و $8/85$ درصد افزایش داشته است.

۲- مطالعات تجربی و عددی انجام شده نشان می‌دهد که بیشترین تغییر راندمان آیرودینامیکی مدل شکل‌پذیر نسبت به مدل پایه به ترتیب $13/8$ و $13/7$ درصد بوده که در زاویه حمله ۶ درجه و سرعت ۷۰ متر بر ثانیه اتفاق می‌افتد.

۳- ثابت ماندن زاویه پس‌گرایی و افزایش طول بال نتیجه‌گیری افزایش ضریب برآ، راندمان آیرودینامیکی، برد و مداومت پروازی و در مقابل کاهش ضریب پسا و نیروی رانش موردنیاز می‌باشد.

۴- افزایش زاویه پس‌گرایی مدل در بک سرعت ثابت، نتیجه‌گیری کاهش ضریب برآ، شب منحنی برآ، ضریب پسا و راندمان آیرودینامیکی مدل می‌باشد.

۵- از معایب استفاده از طرح شکل‌پذیری بال، افزایش وزن و پیچیدگی مکانیزم‌های عملگر روی بال می‌باشد. اگر به جای سطوح کنترل شهرپ از طرح شکل‌پذیری بال برای کنترل غلت استفاده شود، می‌توان افزایش حاصل از اجرای طرح شکل‌پذیری را با افزایش وزن سطوح شهرپ جایگزین نمود.

12- فهرست علائم

	علائم	معنی
سرعت	V	
وزن کل پرنده	W_0	
وزن سوخت پرنده	W_1	
علایم یونانی		
زاویه حمله	α	
دانسیته	ρ_∞	
13- مراجع		
[1]	N. Kudva, Morphing Wings: From Concept to Reality, <i>MAE RADUATE SEMINAR SERIES</i> , April 2007.	
[2]	P. Joshi, S. Tidwell, A. Crossley, s. Ramakrishnan, Comparison of Morphing Wing Strategies Based Upon Aircraft Performance Impacts, <i>45th AIAA/ASME/ASCE/AHS/ASC Structures, Structural Dynamics & Materials Conference</i> , 19 - 22 April 2004.	
[3]	G.C. Chattopadyay, B. Jony, A. Acharya, An Analysis on Wing Morphing, <i>Proceedings of the Global Engineering, Science and Technology Conference</i> , 28-29 December 2012.	
[4]	A.R. Rodriguez, Morphing Aircraft Technology Survey, <i>45th AIAA Aerospace Sciences Meeting and Exhibit</i> , 8 -11 January 2007.	
[5]	D. Artzi, Morphing Wing Aircraft, October 2009.	
[6]	I. Chopra, Review of State of Art of Smart Structures and Integrated Systems, <i>AIAA Journal</i> , 2002.	
[7]	R.M. Ajaj, E.I. Saavedra Flores , M.I. Friswell, G. Allegri, B.K.S. Woods, A.T. Isikveren, W.G. Dettmer, The Zigzag wingbox for a span morphing wing, <i>Aerospace Science and Technology</i> , 18 December 2012.	
[8]	S. Barbarino, O. Bilgen, R.M. Ajaj, M.I. Friswell, D.J. Inman, A Review of Morphing Aircraft, <i>Journal of Intelligent MaterialSystems and Structures</i> , Vol. 22, June 2011.	
[9]	D.A. Neal, M.G. Good, C.O. Johnston, H.H. Robertshaw, W.H. Mason, D.J. Inman, Desing and Wind-Tunnel Analysis of a Fully Adaptive Aircraft Configuration, <i>45th AIAA/ASME/ASCE/AHS/ASC Structures, Structural Dynamics, and Materials Conference</i> , 19-22 April, 2004.	
[10]	J.S. Bae, T.M. Seigler, D.J. Inman, Aerodynamic and Static Aeroelastic Characteristics of a Variable-Span Morphing Wing,' <i>Journal of Aircraft</i> , 2005.	
[11]	D. Grant, M. Abdulrahim, R. Lind, Flight Dynamics of a Morphing Aircraft Utilizing Independent Multiple-Joint Wing Sweep, <i>Proceedings of AIAA Atmospheric Flight Mechanics Conference and Exhibit</i> , 21-24 August, 2006.	
[12]	C. Han, K. Ruy, S. Lee, Experimental Study of a Telescopic Wing Inside Channel, <i>Journal of Aircraft</i> , 2007.	
[13]	P. Gamboa, P. Aleixo, J. Vale, F. Lau, A. Suleman, Design and Testing of a Morphing Wing for an Experimental UAV, 01 NOV 2007.	
[14]	M.J. Scott, J.D. Jacob,S.W. Smith,L.T. Asheghian, J.N. Kudva, Development of a Novel Low Stored Volume High-Altitude Wing Design, <i>50th AIAA/ASME/ASCE/AHS/ASC Structures, Structural Dynamics, andMaterials Conference</i> , 4-5 May, 2009.	
[15]	A.Y. Sofla, S.A. Meguid, K.T. Tan, W.K.Yeo, Shape Morphing of Aircraft Wing: Status and Challenges," <i>Materials and Design</i> , 2010.	
[16]	J. Vale, A. Leite, F. Lau and A. Suleman, Aero-Structural Optimization and Performance Evaluation of a Morphing Wing with Variable Span and Camber, <i>Journal of Intelligent Materials, Systems and Structures</i> , 2011.	
[17]	R.M. Ajaj, E.I. Saavedra Flores , M.I. Friswell, G. Allegri, B.K.S. Woods, A.T. Isikveren, W.G. Dettmer, The Zigzag wingbox for a span morphing wing, <i>Aerospace Science and Technology</i> , 18 December 2012.	
[18]	C.S. Beaverstock, R.M. Ajaj, M.I. Friswellz, R.D. Breukerx, N.P.M. Werter, Optimizing Mission Performance for a Morphing MAV, <i>Ankara International Aerospace Conference</i> , 11-13 September 2013.	
[19]	A. Probst, T. David, K. Kochersberger, Design and Flight Test of a Morphing UAV Flight Control System, <i>51st AIAA Aerospace Sciences Meeting including the New Horizons Forum and Aerospace Exposition</i> , 07 - 10 January 2013.	
[20]	G. Zi-Wu, Y.Y. Long-Liang, Study on Aerodynamics and Mechanisms of Elementary Morphing Models for Flapping Wing in Bat Forward Flight, <i>Arshiv: 1403.6824v1 [physics.flu-dyn]</i> , 27 Mar 2014.	

- [23] J.D. Anderson, *Aircraft Performance and Design*, McGraw-Hill, pp. 199-314, 1999.
- [24] J.J. Henry, *Roll Control for UAVs by Use of a Variable Span Morphing Wing*, Master of Science, pp. 24-30, 2005.
- [21] R.M. Ajaj, M.I. Friswell, E.I. Saavedra Flores, A. Keane, A.T. Isikveren, G. Allegri, S. Adhikari, An integrated conceptual design study using span morphing technology, *Journal of Intelligent Material Systems and Structures*, vol. 25, No 8, PP. 989-1008, May 2014 .
- [22] مصدری، م، مطالعه تجربی گذرش لایه مرزی روی بال با زاویه پسگرا، رساله دکتری، دانشکده هوافضا، دانشگاه صنعتی شریف، مهر 1390.